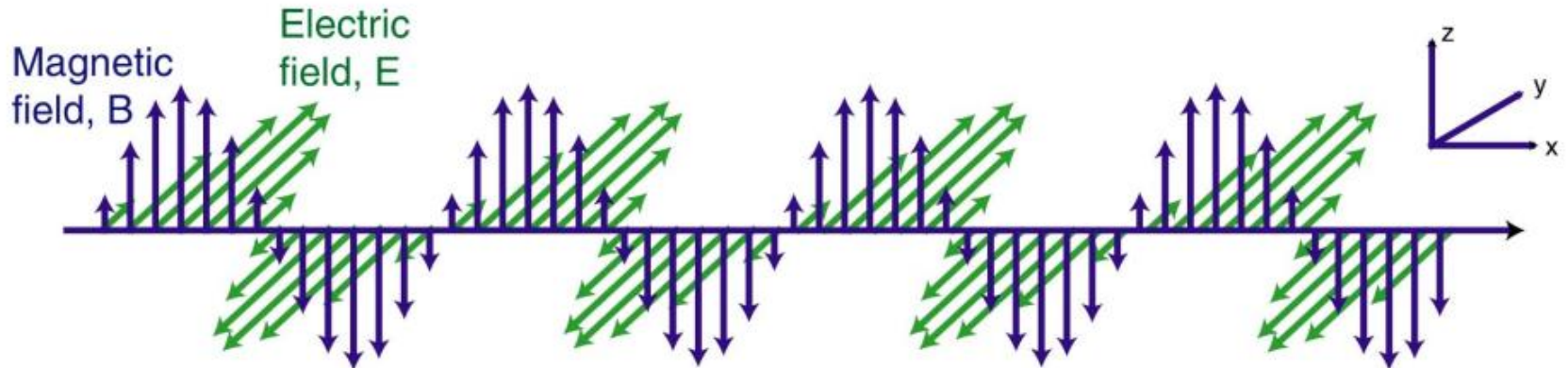


# Equações de Maxwell

---



Derivação da equação da onda a partir das equações de Maxwell

Porque as ondas EM são ondas transversais

Relação entre as grandezas do campo elétrico e do campo magnético

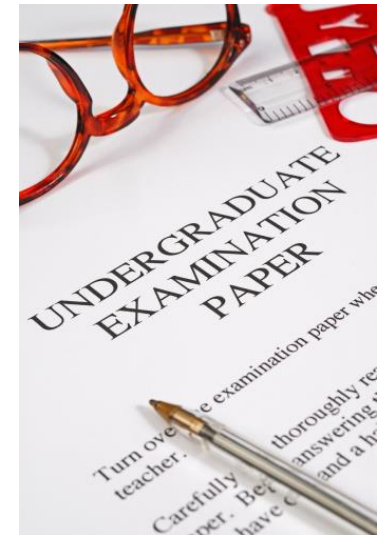
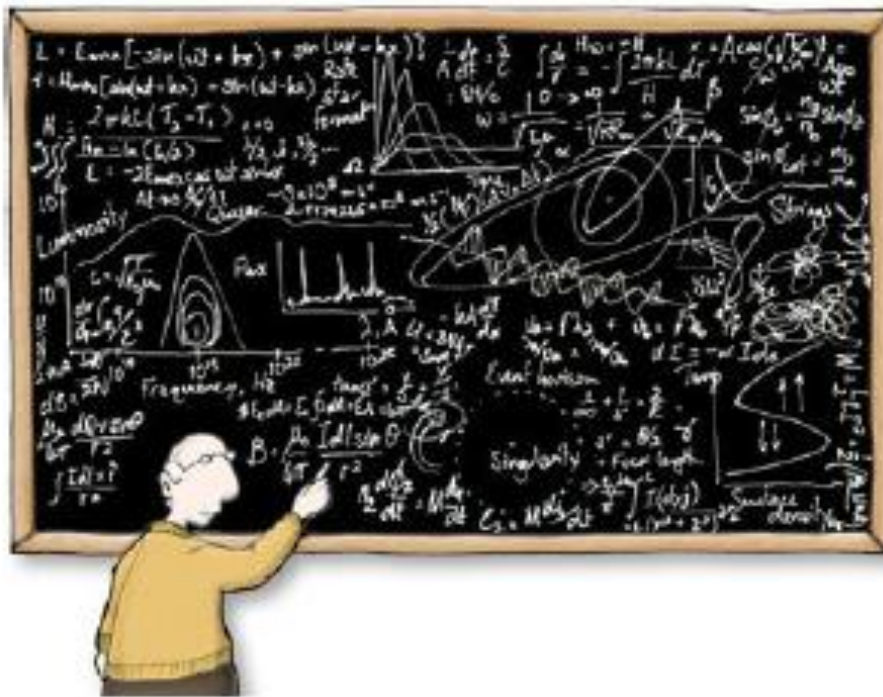
Referência Hecht Cap. 3

---

---

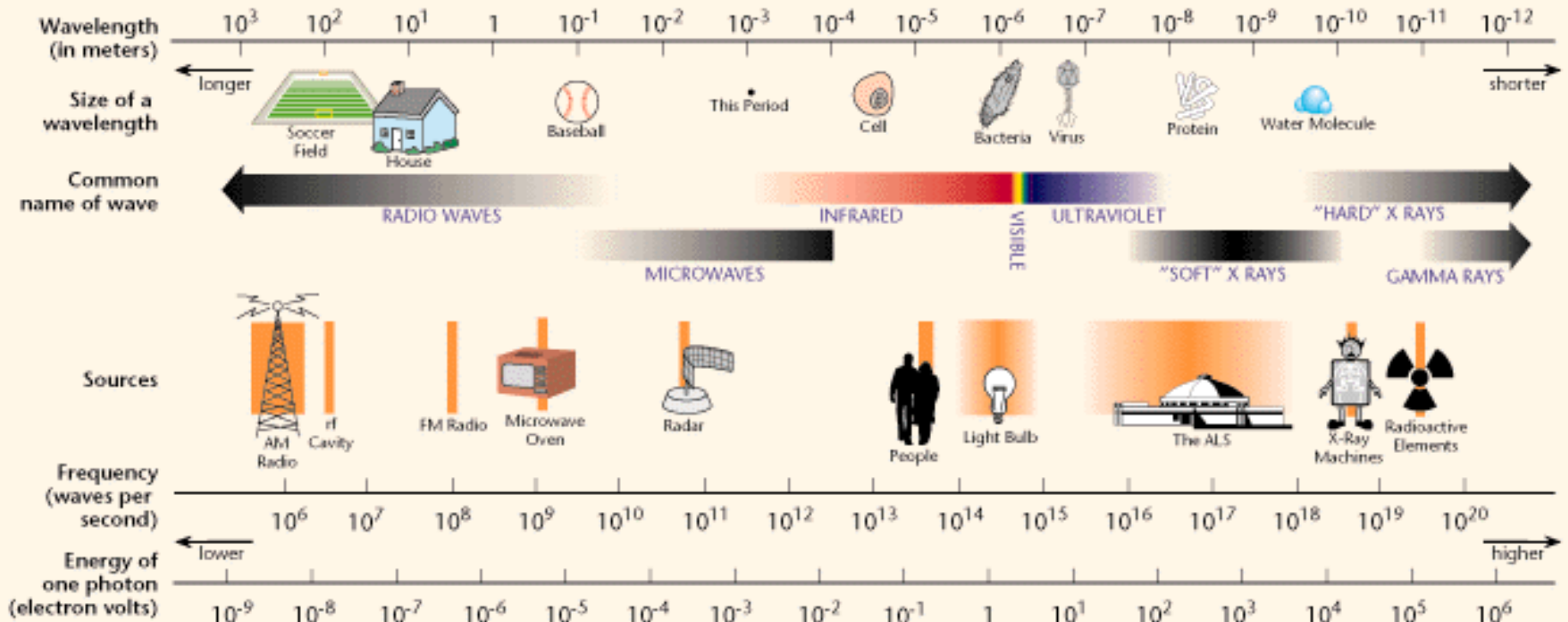
## Avaliação:

2 Testes escritos (**4 Abril**, 23 Maio)?



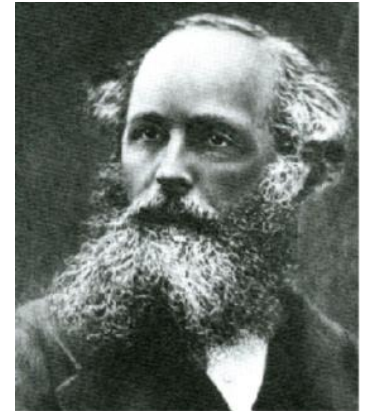
# O espectro eletromagnético

## THE ELECTROMAGNETIC SPECTRUM



Visível:  $400\text{nm} \leftrightarrow 750\text{THz} \leftrightarrow 3.1\text{ eV}$   
 $750\text{nm} \leftrightarrow 400\text{THz} \leftrightarrow 1.7\text{ eV}$

# As equações de Maxwell

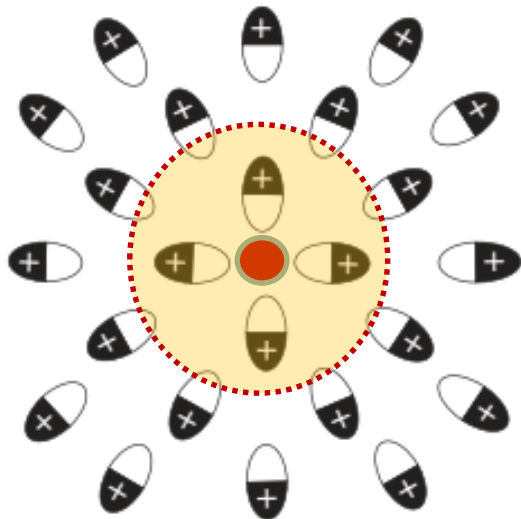


James Clerk Maxwell  
(1831-1879)

$$\vec{\nabla} \cdot \vec{E} = \frac{\rho}{\epsilon_0} \quad \vec{\nabla} \cdot \vec{B} = 0$$

$$\vec{\nabla} \times \vec{E} = -\frac{\partial \vec{B}}{\partial t} \quad \vec{\nabla} \times \vec{B} = \mu_0 \vec{J} + \mu_0 \epsilon_0 \frac{\partial \vec{E}}{\partial t}$$

Pormenor: pode haver 2 tipos de carga “livre” (free) e “ligado” (bound)



Num meio polarizável as cargas vão se reorientar para blindar (parcialmente) uma carga livre colocado dentro do meio.

Se o meio for linear

$$\frac{\rho_{\text{livre}}}{\rho_{\text{total}}} = \frac{\epsilon}{\epsilon_0}$$

$$\vec{\nabla} \cdot \vec{E} = \frac{\rho_{\text{total}}}{\epsilon_0} \rightarrow \vec{\nabla} \cdot \vec{E} = \frac{\rho_{\text{livre}}}{\epsilon}$$

Algo análogo acontece com as correntes devida a magnetização do meio  $\vec{J} \rightarrow \vec{J}_{\text{livre}}$  e  $\mu_0 \rightarrow \mu$

# Um pouco de historia

A versão original (1864) das equações do Maxwell era bastante mais complicada (havia 22 !)

$$\left. \begin{aligned} p' &= p + \frac{df}{dt} \\ q' &= q + \frac{dg}{dt} \\ r' &= r + \frac{dh}{dt} \end{aligned} \right\} \rightarrow \left. \begin{aligned} J_1 &= j_1 + \frac{\partial D_1}{\partial t} \\ J_2 &= j_2 + \frac{\partial D_2}{\partial t} \\ J_3 &= j_3 + \frac{\partial D_3}{\partial t} \end{aligned} \right\} = J + j + \frac{\partial D}{\partial t} \quad (1.1)$$

$$\left. \begin{aligned} \mu\alpha &= \frac{dH}{dy} - \frac{dG}{dz} \\ \mu\beta &= \frac{dF}{dz} - \frac{dH}{dx} \\ \mu\gamma &= \frac{dG}{dx} - \frac{dF}{dy} \end{aligned} \right\} \rightarrow \left. \begin{aligned} \mu H_1 &= \frac{\partial A_1}{\partial y} - \frac{\partial A_2}{\partial z} \\ \mu H_2 &= \frac{\partial A_2}{\partial z} - \frac{\partial A_3}{\partial x} \\ \mu H_3 &= \frac{\partial A_3}{\partial x} - \frac{\partial A_1}{\partial y} \end{aligned} \right\} \Rightarrow \mu \mathbf{H} = \nabla \times \mathbf{A} \quad (1.2)$$

$$\left. \begin{aligned} \frac{dy}{dt} \frac{d\beta}{dz} - \frac{d\gamma}{dz} \frac{d\beta}{dy} &= 4\pi p' \\ \frac{dz}{dt} \frac{d\alpha}{dx} - \frac{d\gamma}{dx} \frac{d\alpha}{dz} &= 4\pi q' \\ \frac{dx}{dt} \frac{d\alpha}{dy} - \frac{d\beta}{dy} \frac{d\alpha}{dx} &= 4\pi r' \end{aligned} \right\} \rightarrow \left. \begin{aligned} \frac{\partial H_1}{\partial y} - \frac{\partial H_2}{\partial z} &= 4\pi J_1 \\ \frac{\partial H_2}{\partial z} - \frac{\partial H_3}{\partial x} &= 4\pi J_2 \\ \frac{\partial H_3}{\partial x} - \frac{\partial H_1}{\partial y} &= 4\pi J_3 \end{aligned} \right\} \Rightarrow \nabla \times \mathbf{H} = \mathbf{J} \quad (1.3)$$

$$\left. \begin{aligned} P &= \mu \left( \gamma \frac{dy}{dt} - \beta \frac{dz}{dt} \right) - \frac{dF}{dt} - \frac{d\psi}{dx} \\ Q &= \mu \left( \alpha \frac{dz}{dt} - \gamma \frac{dx}{dt} \right) - \frac{dG}{dt} - \frac{d\psi}{dy} \\ R &= \mu \left( \beta \frac{dx}{dt} - \alpha \frac{dy}{dt} \right) - \frac{dH}{dt} - \frac{d\psi}{dz} \end{aligned} \right\} \rightarrow \left. \begin{aligned} E_1 &= \mu (H_2 v_3 - H_3 v_2) - \frac{dA_1}{dt} - \frac{d\phi}{dx} \\ E_2 &= \mu (H_3 v_1 - H_1 v_3) - \frac{dA_2}{dt} - \frac{d\phi}{dy} \\ E_3 &= \mu (H_1 v_2 - H_2 v_1) - \frac{dA_3}{dt} - \frac{d\phi}{dz} \end{aligned} \right\} \quad (1.4)$$

$$\Rightarrow \mathbf{E} = \mu (\mathbf{v} \times \mathbf{H}) - \frac{\partial \mathbf{A}}{\partial t} - \nabla \phi$$

$$\left. \begin{aligned} P &= k f \\ Q &= k g \\ R &= k h \end{aligned} \right\} \rightarrow \left. \begin{aligned} \epsilon E_1 &= D_1 \\ \epsilon E_2 &= D_2 \\ \epsilon E_3 &= D_3 \end{aligned} \right\} \Rightarrow \epsilon \mathbf{E} = \mathbf{D} \quad (1.5)$$

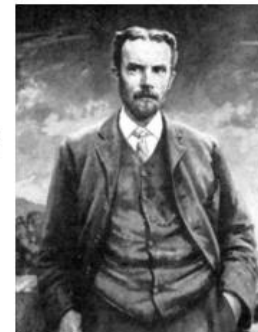
$$\left. \begin{aligned} P &= -c p \\ Q &= -c q \\ R &= -c r \end{aligned} \right\} \rightarrow \left. \begin{aligned} \sigma E_1 &= j_1 \\ \sigma E_2 &= j_2 \\ \sigma E_3 &= j_3 \end{aligned} \right\} \Rightarrow \sigma \mathbf{E} = \mathbf{j} \quad (1.6)$$

$$\epsilon \frac{df}{dx} - \frac{dg}{dy} - \frac{dh}{dz} = 0 \rightarrow \epsilon \frac{\partial D_1}{\partial x} - \frac{\partial D_2}{\partial y} - \frac{\partial D_3}{\partial z} = 0 \Rightarrow -\rho = \nabla \cdot \mathbf{D} \quad (1.7)$$

$$\frac{de}{dt} + \frac{dp}{dx} + \frac{dq}{dy} + \frac{dr}{dz} = 0 \rightarrow \frac{\partial p}{\partial t} + \frac{\partial j_1}{\partial x} + \frac{\partial j_2}{\partial y} + \frac{\partial j_3}{\partial z} = 0 \Rightarrow \frac{\partial p}{\partial t} = \nabla \cdot \mathbf{j} \quad (1.8)$$

No entanto ele chegou a uma equação de onda com uma velocidade que era quase igual ao melhor valor experimental da velocidade da luz (desacordo menor do que 5 %)

A consolidação foi feito pelo matemático livre Heavyside e o físico Josiah Willard Gibbs em 1884



Oliver Heaviside  
(1850 - 1925)



J. Willard Gibbs  
(1839 - 1903)

# Permeabilidade dos materiais não magnéticos

Em frequências óticas ( $f \sim 4\text{-}8 \times 10^{14}$  Hz)

**Table 2.2** Representative Magnetic Permeability

Material	$\mu/\mu_0$	Class
Silver	0.99998	Diamagnetic
Copper	0.99999	Diamagnetic
Water	0.99999	Diamagnetic
Air	1.00000036	Paramagnetic
Aluminum	1.000021	Paramagnetic
Iron	5000	Ferromagnetic
Nickel	600	Ferromagnetic

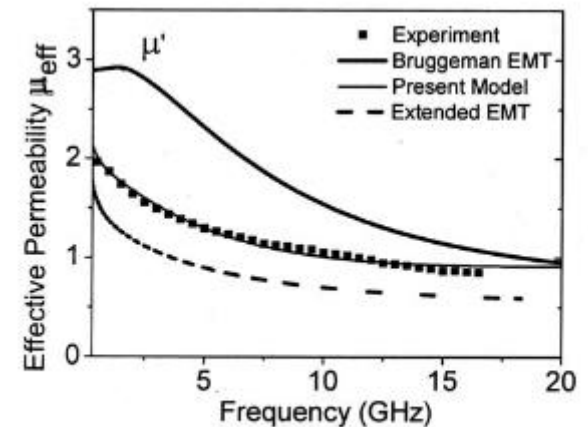
Valores para frequências baixas

Em geral é uma boa aproximação na ótica tomar

$$\mu_0 \approx \mu$$

J. Appl. Phys. **99**, 083905 (2006)

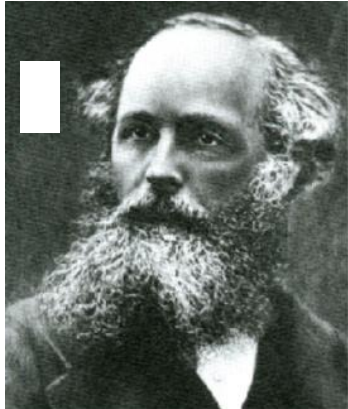
Ferro 30% (10  $\mu\text{m}$ ) em cerra



(a)



# As equações de Maxwell num meio linear



James Clerk Maxwell  
(1831-1879)

Sem cargas livres  $\rho_{\text{livre}} = 0$   $\vec{J}_{\text{livre}} = 0$

$$\vec{\nabla} \cdot \vec{E} = 0 \quad (1 \text{ Gauss})$$

$$\vec{\nabla} \cdot \vec{B} = 0 \quad (2 \text{ Gauss})$$

$$\vec{\nabla} \times \vec{E} = -\frac{\partial \vec{B}}{\partial t} \quad (3 \text{ Faraday})$$

$$\vec{\nabla} \times \vec{B} = \mu\epsilon \frac{\partial \vec{E}}{\partial t} \quad (4 \text{ Ampere})$$

$$\left. \begin{array}{l} \vec{\nabla} \times (\text{Faraday}) + \text{Ampere} + \text{Gauss} \\ \vec{\nabla} \times (\text{Ampere}) + \text{Faraday} + \text{Gauss} \end{array} \right\} \Rightarrow$$

$$\nabla^2 \vec{E} - \mu\epsilon \frac{\partial^2 \vec{E}}{\partial t^2} = 0$$

$$\nabla^2 \vec{B} - \mu\epsilon \frac{\partial^2 \vec{B}}{\partial t^2} = 0$$

# Ondas Planas

---

$$\vec{\mathbf{E}} = \text{Re} \left\{ \vec{\mathbf{E}}_0 \exp \left[ i \left( \vec{k} \bullet \vec{r} - \omega t \right) \right] \right\}$$

$$\vec{\mathbf{B}} = \text{Re} \left\{ \vec{\mathbf{B}}_0 \exp \left[ i \left( \vec{k} \bullet \vec{r} - \omega t \right) \right] \right\}$$

Gauss  $\vec{k} \bullet \vec{\mathbf{E}}_0 = 0$   
 $\vec{k} \bullet \vec{\mathbf{B}}_0 = 0$  ondas planas são ondas transversais

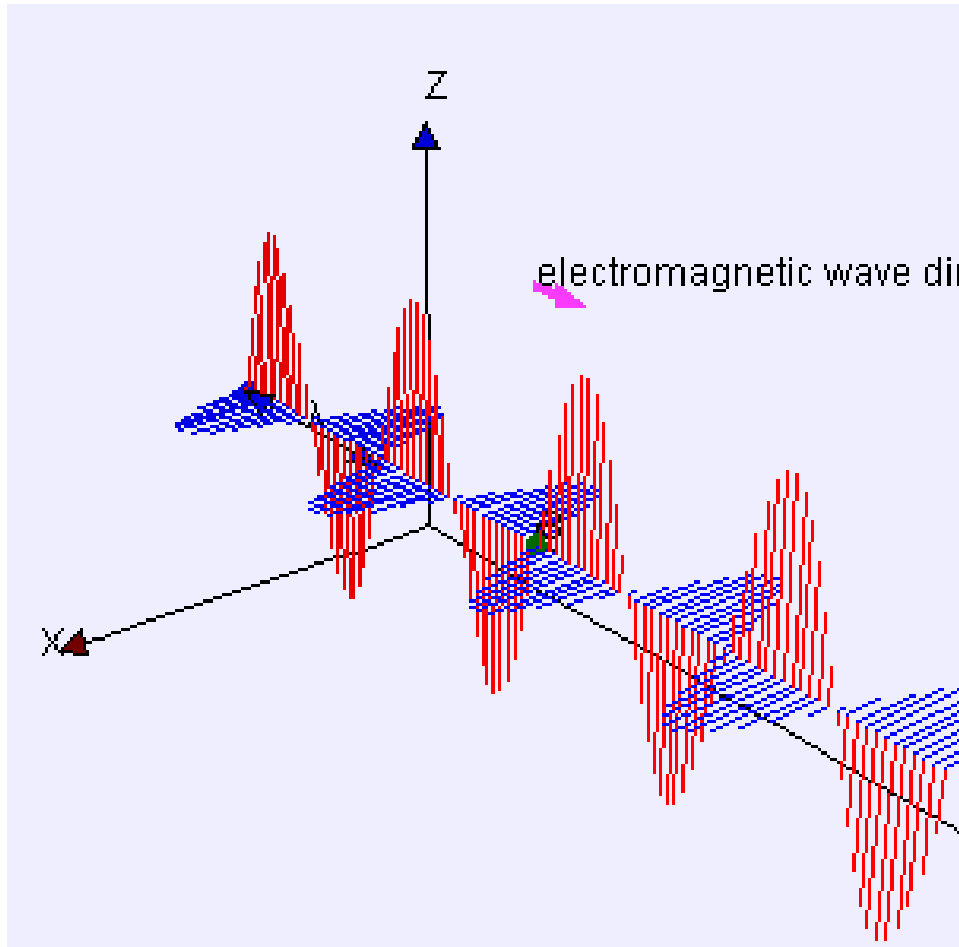
Faraday  $\vec{k} \times \vec{\mathbf{E}}_0 = \omega \vec{\mathbf{B}}_0$  Campo magnético é perpendicular aos vetores  $\vec{\mathbf{E}}_0$  e  $\vec{k}$   
 $c |\vec{\mathbf{B}}_0| = |\vec{\mathbf{E}}_0|$

Força do Lorentz numa carga livre  $\vec{F} = q \left( \vec{\mathbf{E}} + \vec{\mathbf{v}} \times \vec{\mathbf{B}} \right)$   $\frac{|\vec{F}_B|}{|\vec{F}_E|} \leq \frac{|\vec{\mathbf{v}}|}{c}$

---



# Ondas transversais



Solução de ondas planas progressivas

$$\vec{E} = \text{Re} \left\{ \vec{E}_0 \exp \left[ i \left( \vec{k} \cdot \vec{r} - \omega t \right) \right] \right\}$$

$$\vec{B} = \text{Re} \left\{ \vec{B}_0 \exp \left[ i \left( \vec{k} \cdot \vec{r} - \omega t \right) \right] \right\}$$

frentes de onda  $\perp \vec{k}$  logo a direção de propagação é ao longo de  $\vec{k}$

Os campos elétricos e magnéticos têm o máximo amplitude nas mesmas posições e nos mesmos instantes (são em fase).

Ondas não tem ser sinusoidais – combinações lineares também são soluções – No entanto as condições impostos pelas equações de Maxwell continuam ser validas

<http://weelookang.blogspot.com/2011/10/ejs-open-source-propagation-of.html>

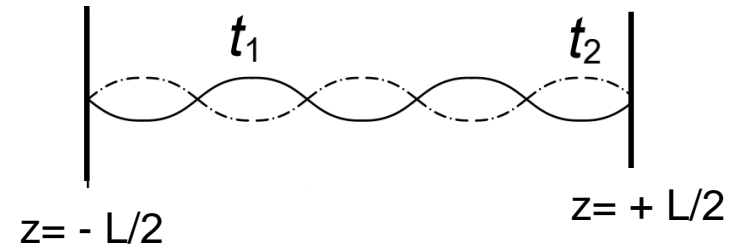
# Ondas estacionarias

---

Considere a sobreposição de duas ondas progressivas para formar um campo elétrico estacionário

$$\mathbf{E}_1 = \hat{\mathbf{x}}E_0 \cos(kz - \omega t) \quad \mathbf{E}_2 = \hat{\mathbf{x}}E_0 \cos(-kz - \omega t)$$

$$\mathbf{E} = \hat{\mathbf{x}}(2E_0) \cos kz \cos \omega t$$



Qual é o campo magnético?

---

# Ondas estacionárias

---

Considere a sobreposição de duas ondas progressivas para formar um campo elétrico estacionário

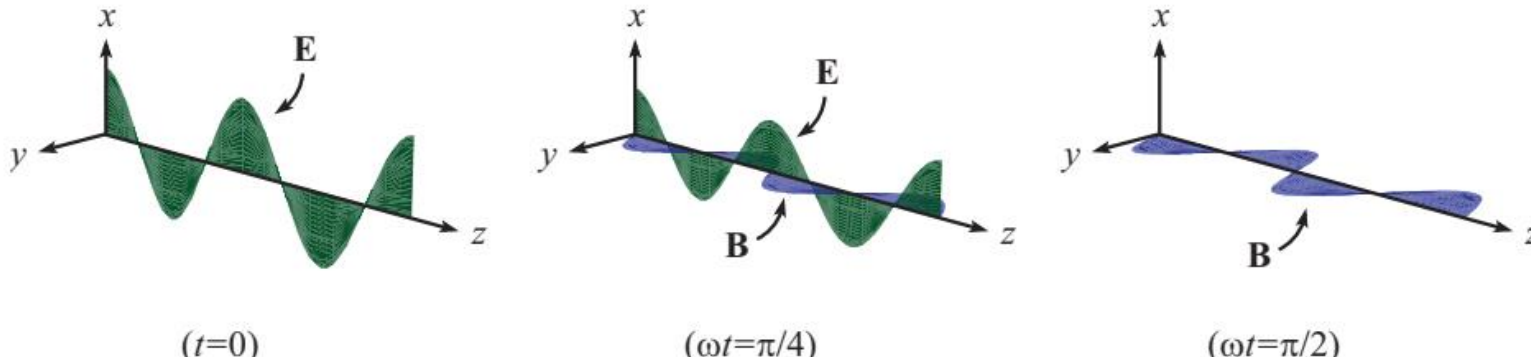
$$\mathbf{E}_1 = \hat{\mathbf{x}}E_0 \cos(kz - \omega t) \quad \mathbf{E}_2 = \hat{\mathbf{x}}E_0 \cos(-kz - \omega t)$$

$$\mathbf{E} = \hat{\mathbf{x}}(2E_0) \cos kz \cos \omega t$$

Qual é o campo magnético?

$$\mathbf{B} = \hat{\mathbf{y}}(2E_0/c) \sin kz \sin \omega t = \hat{\mathbf{y}} \frac{2E_0}{c} \cos \left( kz - \frac{\pi}{2} \right) \cos \left( \omega t - \frac{\pi}{2} \right)$$

Agora existe uma diferença da fase de  $\pi/2$  entre os campos elétricos e magnéticos



Faz lembrar a troca entre energia cinética e energia potencial dum oscilador harmónico

---

# Energia

---

A densidade de energia associado com campos eletromagnéticos das ondas progressivas no vazio é

$$u_{EM} = \varepsilon_0 \frac{|\vec{\mathbf{E}}|^2}{2} + \frac{|\vec{\mathbf{B}}|^2}{2\mu_0} = \varepsilon_0 |\vec{\mathbf{E}}|^2$$

$$c |\vec{\mathbf{B}}_0| = |\vec{\mathbf{E}}_0|$$

$$c^2 = \frac{1}{\varepsilon_0 \mu_0}$$

Densidade energia é igual nos campos  
magnéticos e elétricos

Campo elétrico associado á um fotão?

$$|\vec{\mathbf{E}}_{\text{fotão}}| \sim \sqrt{\frac{\hbar \omega}{\varepsilon_0 V}}$$

Depende do volume da  
quantização!

# Energia

A densidade da energia associado com campos EM no vazio é

A variação com tempo

$$\frac{\partial u_{EM}}{\partial t} = \epsilon_0 \vec{\mathbf{E}} \cdot \frac{\partial \vec{\mathbf{E}}}{\partial t} + \frac{1}{\mu_0} \vec{\mathbf{B}} \cdot \frac{\partial \vec{\mathbf{B}}}{\partial t}$$

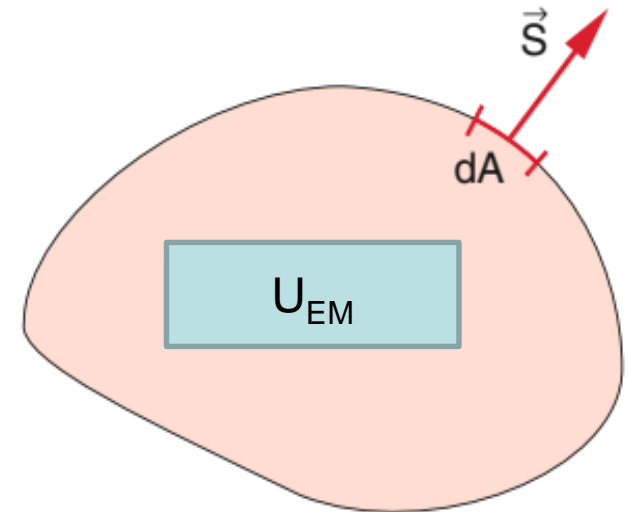
$$= \epsilon_0 \vec{\mathbf{E}} \cdot \left[ \frac{1}{\epsilon_0 \mu_0} \nabla \times \vec{\mathbf{B}} \right] - \frac{1}{\mu_0} \vec{\mathbf{B}} \cdot [\nabla \times \vec{\mathbf{E}}]$$

$$= \frac{1}{\mu_0} \nabla \cdot (\vec{\mathbf{B}} \times \vec{\mathbf{E}})$$

$$\int_{Volume} d^3\vec{\mathbf{r}} \frac{\partial u_{EM}}{\partial t} = \int_{Volume} d^3\vec{\mathbf{r}} \frac{1}{\mu_0} \nabla \cdot (\vec{\mathbf{B}} \times \vec{\mathbf{E}})$$

$$-\frac{\partial U_{EM}}{\partial t} = \int_{\text{área}} d\vec{\mathbf{A}} \cdot \underbrace{\frac{1}{\mu_0} (\vec{\mathbf{E}} \times \vec{\mathbf{B}})}_{\vec{\mathbf{S}}}$$

$$u_{EM} = \epsilon_0 \frac{|\vec{\mathbf{E}}|^2}{2} + \frac{|\vec{\mathbf{B}}|^2}{2\mu_0}$$



A perda da energia no volume é devida o transporte da energia fora do volume

# Ondas progressivas (viajantes)

Vetor de “Poynting”  $\vec{S} = \frac{1}{\mu_0} (\vec{E} \times \vec{B})$

Por ondas progressivas

$$\vec{E} = \vec{E}_0 \cos \left[ i \left( \vec{k} \bullet \vec{r} - \omega t \right) + \varphi \right]$$

$$\vec{B} = \vec{B}_0 \cos \left[ i \left( \vec{k} \bullet \vec{r} - \omega t \right) + \varphi \right]$$

Media temporal  $\rightarrow \langle \vec{S} \rangle = I = \frac{1}{2} \epsilon_0 c |\vec{E}_0|^2$

I é a Irradiância ou a Intensidade

**Fluxo da energia:** Energia/ área/tempo (W/m<sup>2</sup>)



Na superfície da Terra  $I_{Sol} \approx 1000 \text{ W} / \text{m}^2$

TABLE 3.1 The Mean Photon Flux Density for a Sampling of Common Sources

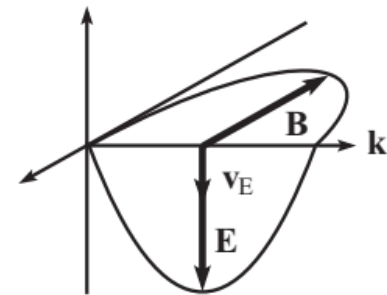
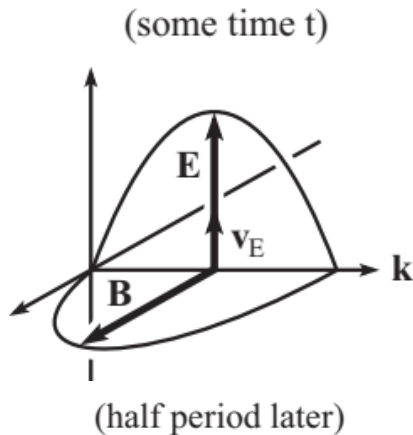
Light Source	Mean Photon Flux Density $\Phi/A$ in units of (photons/s · m <sup>2</sup> )
Laserbeam (10 mW, He-Ne, focused to 20 μm)	10 <sup>26</sup>
Laserbeam (1 mW, He-Ne)	10 <sup>21</sup>
Bright sunlight	10 <sup>18</sup>
Indoor light level	10 <sup>16</sup>
Twilight	10 <sup>14</sup>
Moonlight	10 <sup>12</sup>
Starlight	10 <sup>10</sup>

# Momento duma onda EM

Relatividade restrita  $U^2 = p^2 c^2 + m^2 c^4$       Fótons  $m = 0$

$$p_{\text{fotão}} = \frac{U}{c} = \frac{\hbar \omega}{c} \quad \vec{p}_{\text{fotão}} = \hbar \vec{k}$$

Considere uma onda plana que incide numa partícula pequena com carga  $q$



O trabalho realizado na carga pelo campo EM

$$dU = \vec{F}_E \cdot d\vec{x} = qE (v_E dt)$$

O momento transferido pelo campo EM

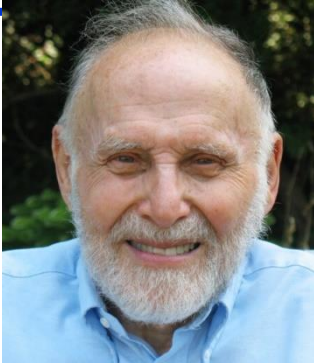
$$|d\vec{p}| = |\vec{F}_B \cdot dt| = |q(\vec{v} \times \vec{B}) dt| = \frac{qv_E E}{c} dt$$

$$\text{logo} \quad \frac{1}{A} \frac{|d\vec{p}|}{dt} = \frac{1}{A} \frac{1}{c} \frac{dU}{dt} = \frac{|\vec{S}|}{c}$$

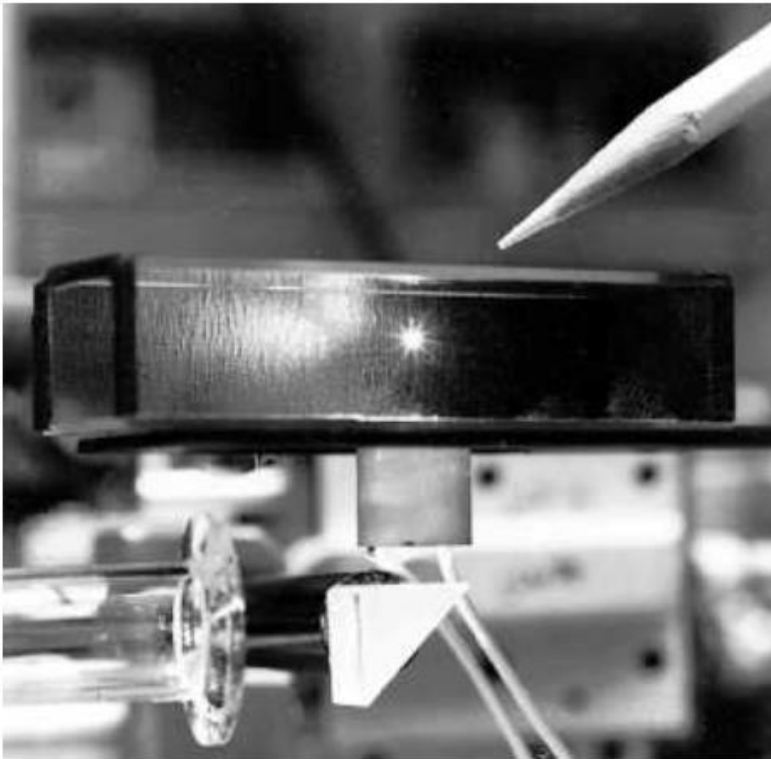
$$\text{Pressão radiativa} \quad \frac{|\vec{S}|}{c} = \frac{|\vec{E} \times \vec{B}|}{\mu_0 c} = \epsilon_0 |\vec{E}|^2 = u_{EM}$$



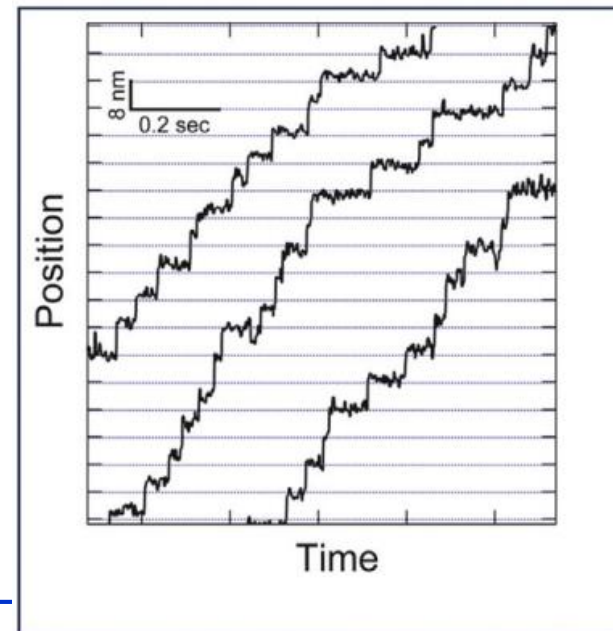
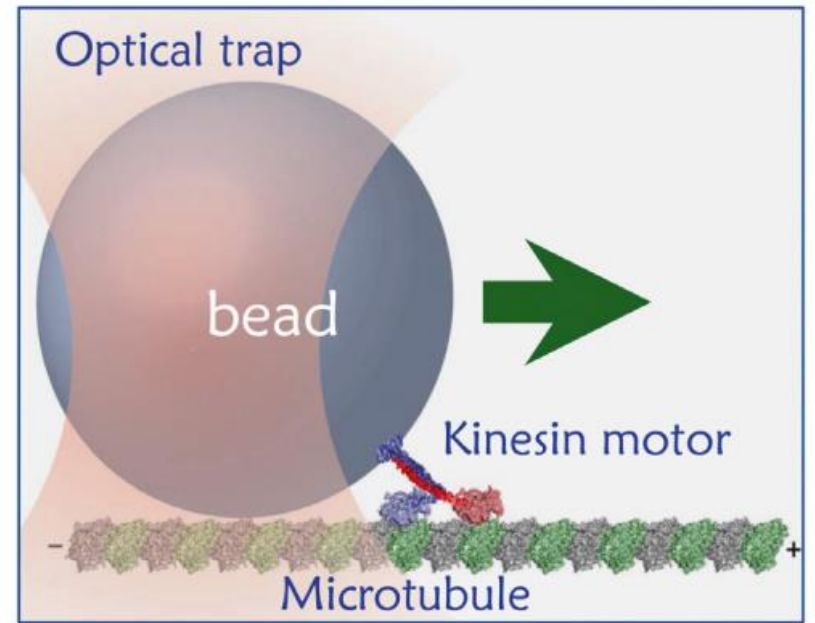
# Levitação e pinças óticas



Arthur Ashkin (1922-2020)  
Prémio Nobel 2018



The tiny starlike speck is a minute (one-thousandth of an inch diameter) transparent glass sphere suspended in midair on an upward 250-mW laserbeam. (Bell Laboratories)



Passos  
de ~8nm

# Fotões

---

"What is known of [photons] comes from observing the results of their being created or annihilated."

- Eugene Hecht

O que é conhecido a cerca de quase tudo vem de observar dos resultados de fotões serem criados ou aniquilados

---